

# BeH ,BeD ,BeT 分子基态( $X^2\Sigma^+$ )的 结构与势能函数<sup>\*</sup>

徐 梅<sup>1)</sup> 汪荣凯<sup>1)</sup> 令狐荣峰<sup>1)†</sup> 杨向东<sup>2)</sup>

1) 贵州师范大学理学院, 贵阳 550001)

2) 四川大学原子与分子物理研究所, 成都 610065)

(2006 年 5 月 11 日收到 2006 年 6 月 14 日收到修改稿)

采用量子力学从头算方法, 运用二次组态相互作用 QCISD(T)/aug-cc-pVTZ 和电子相关单双耦合簇 CCSD(T)/6-311++G(3df,2pd) 研究了 BeH ,BeD ,BeT 分子基态的结构与势能函数, 计算出了这些分子的光谱数据( $\omega_e$ ,  $\omega_e\chi_e$ ,  $B_e$ ,  $\alpha_e$ ,  $D_e$ ) 结果与实验光谱数据吻合较好。这表明上述分子基态的势能函数可用经修正的 Murrell-Sorbie + c<sub>6</sub> 函数来表示。

关键词: BeH ,BeD ,BeT 分子基态, 分子结构, 势能函数

PACC: 3110, 3120D, 3130

## 1. 引言

分子结构和分子势能函数是原子与分子物理中一个重要的研究方向。它不仅是原子分子物理学和材料科学的重要基础<sup>[1]</sup>, 而且是研究反应动力学的关键<sup>[2-4]</sup>。由于 BeH 和 BeD 自由基分子是研究作为测试新方法的目标分子 BeH<sub>2</sub><sup>[5]</sup> 和作为激光 X 射线靶的壳层材料的 BeD<sub>2</sub><sup>[6]</sup> 体系的结构与性质的基础, 因而引起了人们的广泛关注<sup>[7,8]</sup>。本文分别采用 Gaussian 03 软件中的 QCISD(T)/aug-cc-pVTZ 方法和 CCSD(T)/6-311++G(3df,2pd) 方法, 对 BeH ,BeD ,BeT 分子基态进行了几何优化和单点能计算及能量扫描计算, 研究其分子势能函数, 然后用非线性最小二乘法拟合出经修正的 Murrell-Sorbie + c<sub>6</sub> 函数的参数, 并计算出各阶力常数和光谱常数, 计算结果与实验光谱数据吻合较好。

## 2. 理论计算

### 2.1. BeH( BeD ,BeT )分子基态的离解极限

为了正确表述上述分子基态相对应的势能函

数, 需要合理地确定其离解极限。根据原子分子静力学原理<sup>[1,9]</sup>, 基于广义 Wigner-Witmer, 由分离原子法构造出上述分子可能的电子状态。Be 原子的基态电子状态为  ${}^1S_g$ , BeH 属于  $C_{\infty v}$  群。当  $Be({}^1S_g)$  和  $H({}^2S_g)$  形成 BeH 时, 其对称性降低  $SU(n)$  群的不可约表示分解为  $C_{\infty v}$  群的不可约表示的直和, 通过直积和约化可得  $C_{\infty v}$  群的不可约表示, 即形成分子的可能电子状态。 $Be({}^1S_g)$  和  $H({}^2S_g)$  分别分解为  $C_{\infty v}$  群的不可约表示的直和为

$$Be({}^1S_g) \oplus H({}^2S_g) = BeH({}^2\Sigma^+),$$

所以, BeH( BeD ,BeT )的可能电子状态为  ${}^2\Sigma^+$ 。

### 2.2. BeH( BeD ,BeT )分子基态( $X^2\Sigma^+$ )的结构参数

我们采用 Gaussian03 软件, QCISD(T)/aug-cc-pVTZ 方法和 CCSD(T)/6-311++G(3df,2pd) 方法分别对 BeH ( BeD ,BeT )分子的基态( $X^2\Sigma^+$ )进行结构优化计算, 计算结果见表 1。可以看出其平衡间距  $R_e$  和离解能  $D'_e$  的计算结果与实验值<sup>[8]</sup>吻合很好。

### 2.3. BeH( BeD ,BeT )分子基态( $X^2\Sigma^+$ )的势能函数

我们首先用 QCISD(T)/aug-cc-pVTZ 和 CCSD(T)/6-311++G(3df,2pd) 分别进行逐点扫描计算, 得到一系列单点势能值, 然后分别用 Murrell-Sorbie

\* 国家自然科学基金(批准号: 10574096) 和贵州省教育厅自然科学重点项目(批准号: 2005105) 资助的课题。

† 通讯联系人。E-mail: linghu@gznu.edu.cn

函数<sup>[1]</sup>(1式)和经过修正后的 Murrell-Sorbie + c<sub>6</sub>

函数(2式)进行最小二乘法拟合：

表 1 BeH(BeD,BeT)分子基态( $X^2\Sigma^+$ )结构优化结果

分子	方法	电子态	$R_e/\text{nm}$	$E/\text{Hartree}$	$D'_e/\text{eV}$
BeH(D,T)	QCISD(T)	$X^2\Sigma^+$	0.13541	-15.19648	2.12790
	CCSD(T)	$X^2\Sigma^+$	0.13533	-15.19530	2.12535
BeH	实验值	$X^2\Sigma^+$	0.13426		2.16063
BeD	实验值	$X^2\Sigma^+$	0.13419		2.16023
BeT	实验值	$X^2\Sigma^+$	0.13420		2.16000

$$V = -D_e(1 + a_1\rho + a_2\rho^2 + a_3\rho^3)\exp(-a_1\rho), \quad (1)$$

$$V = -D_e(1 + a_1\rho + a_2\rho^2 + a_3\rho^3)\exp(-a_1\rho) - c_6/r^6, \quad (2)$$

式中  $\rho = r - R_e$ .

这里  $r$  和  $R_e$  分别为核间距和平衡核间距. 通过拟合分别得到(1式)中的参数  $D_e, a_1, a_2, a_3$  和(2式)中的参数  $D_e, a_1, a_2, a_3, c_6$ . 借助这些系数由下列(3)–(5)式可计算出各阶力常数  $f_2, f_3, f_4^{[1]}$ , 计算结果列于表 2 中:

$$f_2 = \frac{d^2 V}{dr^2} \Big|_{r=R_e} = D_e(a_1^2 - 2a_2) - \frac{42c_6}{R_e^8}, \quad (3)$$

$$f_3 = \frac{d^3 V}{dr^3} \Big|_{r=R_e} = 6D_e\left(a_1a_2 - a_3 - \frac{a_1^3}{3}\right) + \frac{336c_6}{R_e^9}, \quad (4)$$

$$f_4 = \frac{d^4 V}{dr^4} \Big|_{r=R_e} = D_e(2a_1^4 - 12a_1^2a_2 + 24a_1a_2) - \frac{3024c_6}{R_e^{10}}, \quad (5)$$

表 2 BeH(BeD,BeT)分子基态( $X^2\Sigma^+$ )的势能函数和力常数

方法	$D'_e/\text{eV}$	$a_1/\text{nm}^{-1}$	$a_2/\text{nm}^{-2}$	$a_3/\text{nm}^{-3}$	$c_6/\text{eV}\cdot\text{nm}^6$	$f_2/\text{fJ}\cdot\text{nm}^{-2}$	$f_3/\text{fJ}\cdot\text{nm}^{-3}$	$f_4/\text{fJ}\cdot\text{nm}^{-4}$
QCISD(T)M-S	2.128	19.84	-149.9	-2.49		0.2364	-11.406	399.596
CCSD(T)M-S	2.125	19.91	-148.6	-2.59		0.2378	-11.457	400.393
QCISD(T)M-S+c <sub>6</sub>	2.128	12.62	-248.9	817.7	$-0.1825 \times 10^{-6}$	0.2241	-9.473	272.732
CCSD(T)M-S+c <sub>6</sub>	2.125	12.61	-249.5	825.4	$-0.1831 \times 10^{-6}$	0.2241	-9.480	273.007

注: 1 fJ =  $10^{-15}$  J

图 1 和图 2 给出了采用修正的 Murrell-Sorbie + c<sub>6</sub> 函数拟合的 BeH(BeD,BeT)分子基态的势能曲线. 图中的离散点为基态的单点理论计算势能值, 实线为这些单点的拟合势能曲线.

由表 2 算出力常数, 根据力常数与光谱常数的关系, 运用下列(6)–(10)式<sup>[1]</sup>可计算光谱常数  $\omega_e, \omega_e\chi_e, B_e, \alpha_e, D_e$ :

$$\omega_e = \sqrt{\frac{f_2}{4\pi^2\mu c^2}}, \quad (6)$$

$$\omega_e\chi_e = \frac{B_e}{8} \left[ -\frac{f_4 R_e^2}{f_2} + 15 \left( 1 + \frac{\omega_e \alpha_e}{6B_e^2} \right)^2 \right], \quad (7)$$

$$B_e = \frac{h}{8\pi^2\mu c R_e^2}, \quad (8)$$

$$\alpha_e = -\frac{6Be^2}{\omega_e} \left( \frac{f_3 R_e}{3f_2} + 1 \right), \quad (9)$$

$$D_e = \frac{4B_e^3}{\omega_e^2}, \quad (10)$$

式中  $\mu$  为分子的约化质量,  $c$  为光速.

计算结果显示, 采用 Murrell-Sorbie 函数拟合所得数据计算出的光谱常数与实验值有一定差别, 而采用经过修正后的 Murrell-Sorbie + c<sub>6</sub> 函数拟合所得数据计算出的光谱常数与实验值相当吻合. 表 3 列出了采用经过修正后的 Murrell-Sorbie + c<sub>6</sub> 函数拟合得到的数据计算出的光谱常数.

图 3 和图 4 给出了 BeH(BeD,BeT)分子基态的

实验光谱势能曲线,同时也给出了理论计算曲线及

合曲线.

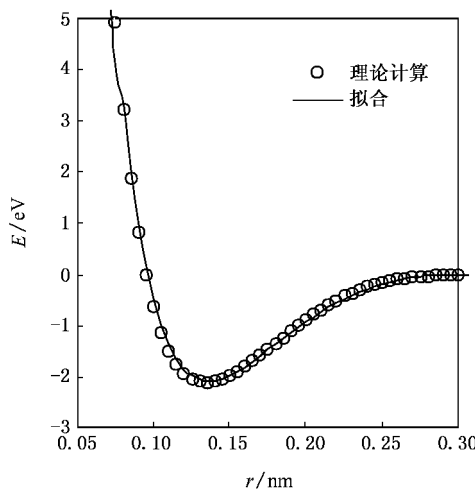


图1 用 QCISD(T)aug-cc-pVTZ 理论计算所得的 BeH( BeD , BeT )分子基态的势能曲线

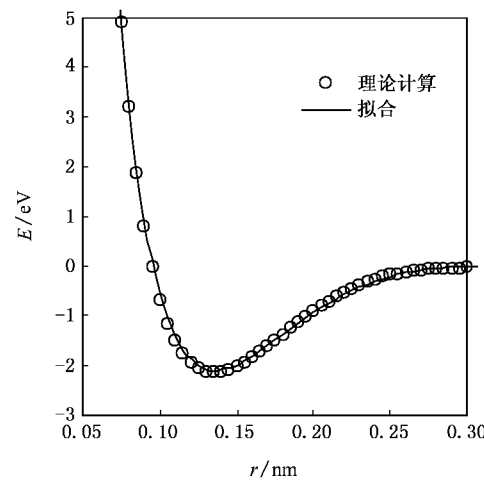


图2 用 CCSD(T)6-331++G(3df,2pd)理论计算所得的 BeH( BeD , BeT )分子基态的势能曲线

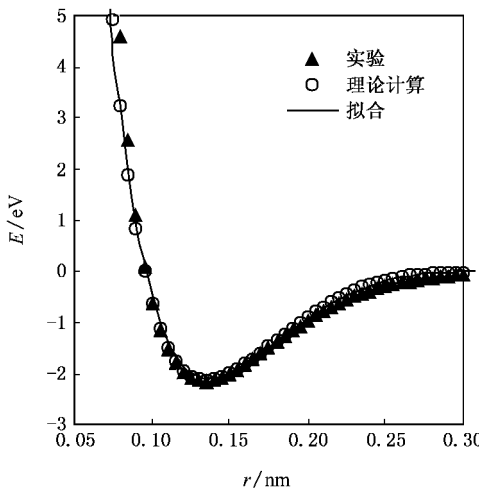


图3 由光谱实验数据导出的 BeH( BeD , BeT )基态的势能曲线与 QCISD(T)aug-cc-pVTZ 理论计算的势能曲线的比较

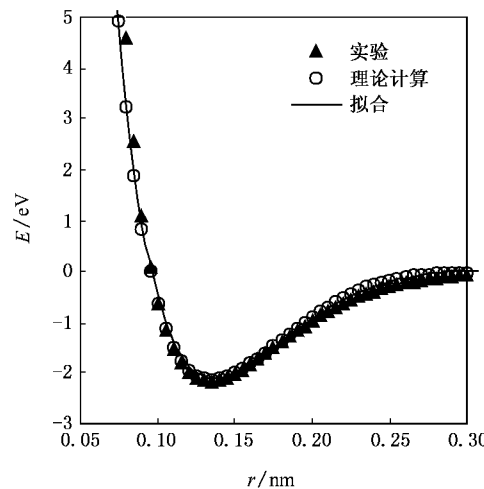


图4 由光谱实验数据导出的 BeH( BeD , BeT )基态的势能曲线与 CCSD(T)6-331++G(3df,2pd)理论计算的势能曲线的比较

表3 BeH,BeD 和 BeT 分子基态( $X^2\Sigma^+$ )光谱数据

分子	方法	$\omega_e/\text{cm}^{-1}$	$\omega_e\chi_e/\text{cm}^{-1}$	$B_e/\text{cm}^{-1}$	$\alpha_e/\text{cm}^{-1}$	$D_e/\text{cm}^{-1}$
BeH	QCISD(T)	2048.27	40.949	10.143	0.2737	$9.95 \times 10^4$
	CCSD(T)	2048.36	41.027	10.154	0.2744	$9.98 \times 10^4$
	实验值	2060.78	36.310	10.316	0.3030	$10.22 \times 10^4$
	文献[7]	2180.57	49.780	10.22	0.2980	
BeD	QCISD(T)	1519.92	22.548	5.585	0.1118	$3.02 \times 10^4$
	CCSD(T)	1519.98	22.591	5.591	0.1121	$3.03 \times 10^4$
	实验值	1530.32	20.710	5.687	0.1225	$3.14 \times 10^4$
BeT	QCISD(T)	1297.26	16.426	4.069	0.0695	$1.60 \times 10^4$
	CCSD(T)	1297.32	16.457	4.073	0.0697	$1.61 \times 10^4$
	实验值	1305.00	15.000	4.142	0.0640	$1.67 \times 10^4$

### 3. 结 论

分别用 QCISD(T)aug-cc-pVTZ 和 CCSD(T)6-311++G(3df,2pd)方法计算得到 BeH(BeD,BeT)

分子的基态( $X^2\Sigma^+$ )的势能函数曲线和光谱数据,计算结果均与实验吻合很好.这表明,经过修正后的Murrell-Sorbie + c<sub>6</sub>势能函数解析式较准确地反映了BeH,BeD,BeT分子基态的结构特征.

- [1] Zhu Z H ,Yu H G 1997 *Molecular Structure and Molecular Potential Function* ( Beijing : Science Press )[ 朱正和、俞华根 1997 分子结构与分子势能函数 ( 北京 科学出版社 ) ]
- [2] Hirst D M 2001 *J. Chem. Phys.* **115** 9320
- [3] Horst M A T , Schatz G C , Harding L B 1996 *J. Chem. Phys.* **105** 558
- [4] Chen L H , Shang R C 2002 *Acta Phys. Sin.* **51** 2475 ( in Chinese )[ 陈林红、尚仁成 2002 物理学报 **51** 2475 ]
- [5] Shayesteh A , Tereszchuk K , Bernath P F 2003 *J. Chem. Phys.* **118** 3622
- [6] Bai G 2002 *Laser and Development of Photoelectronics* **39** 26 ( in Chinese )[ 白 光 2002 激光与光电子学进展 **39** 26 ]
- [7] Jiang W S , Wu K Y 2005 *Sichuan Nom. Univ(Natural Science)* **28** 469 ( in Chinese )[ 江文世、吴开映 2005 四川师范大学学报 **28** 469 ]
- [8] Huber K P , Herzberg G 1979 *Molecular Spectrum and Molecular Structure( IV ) constants of diatomic molecules* ( New York : Van Nostrand Reinhold Company )
- [9] Zhu Z H 1996 *Atomic and Molecular Reaction Statics* ( Beijing : Science Press )( in Chinese )[ 朱正和 1996 原子分子反应静力学 ( 北京 科学出版社 ) ]
- [10] Fan X W , Geng Z D , Zhang Y S 2005 *Acta Phys. Sin.* **54** 5614 [ in Chinese ][ 樊晓伟、耿振铎、张岩松 2005 物理学报 **54** 5614 ]
- [11] Li Q , Zhu Z H 2006 *Acta Phys. Sin.* **55** 1 ( in Chinese )[ 李 权、朱正和 2006 物理学报 **55** 1 ]
- [12] Liu Y F , Xu H J , Shun J F , Han K L 2004 *Acta Phys. Sin.* **53** 1749 ( in Chinese )[ 刘玉芳、徐后菊、孙金锋、韩克利 2004 物理学报 **53** 1749 ]
- [13] Hu M H , Wang Z W 2004 *Chin. Phys.* **13** 662
- [14] Luo D L , Liu X Y , Jiang G , Meng D Q , Zhu Z H 2001 *Acta Phys. Sin.* **50** 1896 ( in Chinese )[ 罗德礼、刘晓亚、蒋 刚、蒙大桥、朱正和 2001 物理学报 **50** 1896 ]
- [15] Luo D L , Meng D Q , Zhu Z H 2003 *Acta Phys. Sin.* **52** 2438 ( in Chinese )[ 罗德礼、蒙大桥、朱正和 2003 物理学报 **52** 2438 ]
- [16] Li Q , Liu X Y , Wang R , Zhu Z H , Fu Y B , Wng X L 2001 *Chin. Phys.* **10** 501

# Structures and potential energy functions of the ground states of BeH , BeD , BeT molecules \*

Xu Mei<sup>1)</sup> Wang Rong-Kai<sup>1)</sup> Linghu Rong-Feng<sup>1)†</sup> Yang Xiang-Dong<sup>2)</sup>

1) School of Sciences , Guizhou Normal University , Guiyang 550001 , China )

2) Institute of Atomic and Molecular Physics , Sichuan University , Chengdu 610065 , China )

( Received 11 May 2006 ; revised manuscript received 14 June 2006 )

## Abstract

In this paper , the structures and potential energy functions of the ground states of BeH , BeD , BeT molecules are investigated by quantum mechanical *ab initio* method in the level of QCISD(T) / aug-cc-pVTZ and CCSD(T) / 6-311 + + G(3df , 2pd). The spectroscopic data ,  $\omega_e$  ,  $\omega_e \chi_e$  ,  $B_e$  ,  $\alpha_e$  and  $D_e$  for the ground states obtained from the calculation are in good agreement with the data from experiment. It indicates that the potential energy functions of BeH , BeD , BeT can be expressed by the corrected Murrell-Sorbie functions .

**Keywords :** BeH , BeD , BeT molecules ground state , structure of molecules , potential energy function

**PACC :** 3110 , 3120D , 3130

\* Project supported by National Natural Science Foundation of China( Grant No. 10574096 ) and the Natural Science Foundation of Education Department of Guizhou Province( Grant No. 2005105 ).

† Corresponding author. E-mail : linghu@gznu.edu.cn